



appunti
www.centroappunti.it

Corso Luigi Einaudi, 55 - Torino

Appunti universitari

Tesi di laurea

Cartoleria e cancelleria

Stampa file e fotocopie

Print on demand

Rilegature

NUMERO: 1035

DATA: 15/07/2014

APPUNTI

STUDENTE: Barberis

MATERIA: Geomatica

Prof. Manzino

Il presente lavoro nasce dall'impegno dell'autore ed è distribuito in accordo con il Centro Appunti.

Tutti i diritti sono riservati. È vietata qualsiasi riproduzione, copia totale o parziale, dei contenuti inseriti nel presente volume, ivi inclusa la memorizzazione, rielaborazione, diffusione o distribuzione dei contenuti stessi mediante qualunque supporto magnetico o cartaceo, piattaforma tecnologica o rete telematica, senza previa autorizzazione scritta dell'autore.

ATTENZIONE: QUESTI APPUNTI SONO FATTI DA STUDENTI E NON SONO STATI VISIONATI DAL DOCENTE.
IL NOME DEL PROFESSORE, SERVE SOLO PER IDENTIFICARE IL CORSO.

2014

Geomatica

fabiana barbaris

07/07/2014



Necessità di tipo FISICO

Come orientiamo gli assi del SR?

Usiamo il sistema delle STELLE FISSE (SISTEMA INERZIALE).

Con questo possiamo georiferire tutto.

Abbiamo però la necessità di MATERIALIZZARE il sistema di riferimento, per poterlo toccare con mano, ed utilizzarlo con la strumentazione topografica.

L'osservatore solidale alla Terra non si trova in un sistema di riferimento INERZIALE. Questo perché vi sono forze esterne che agiscono sulla Terra (forza di rotazione). Ciò significa che non è rispettata la legge di conservazione del momento angolare.

« Il momento angolare di un sistema è costante nel tempo se e' nullo il momento delle forze esterne che agiscono su di esso »

Per fare sì che il SR solidale alla Terra sia inerziale, bisogna eliminare:

- » il moto di rotazione intorno al proprio asse
- » il moto di rivoltazione attorno al sole
- » moti di tipo millenario (precessione degli equinoti, rotazione della linea degli apsidì, rotazione della linea degli equinoti, variazione dell'eccentricità dell'orbita).

Che SR usiamo?

Usiamo ECEF: Earth Centered Earth Fixed e cioè usiamo un SR centrato nel centro di massa della Terra.

Come trovare il centro di massa? I satelliti terrestri hanno un moto che dipende dalla posizione del centro di massa della Terra.

Da misure satellitari riusciamo a ricavare la posizione del centro di massa.

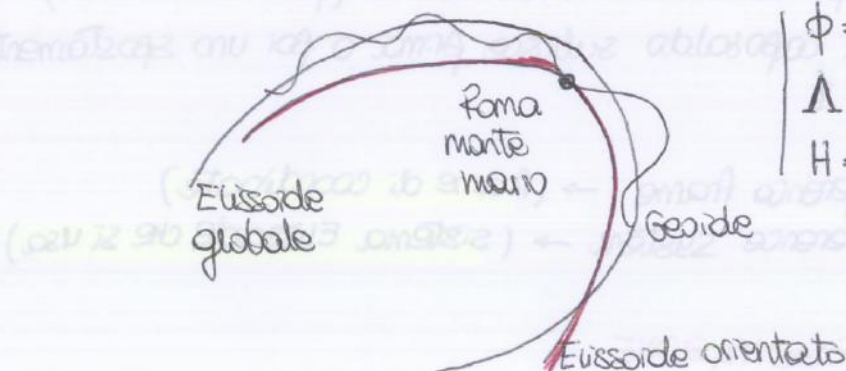
DEFINIZIONE di un SISTEMA di RIFERIMENTO

Un sistema di riferimento è l'insieme di parametri e regole che permettono di ricavare la posizione di un punto nello spazio o nel tempo. Si utilizza per mettere di una sua materializzazione (frame)

ELISSOIDE → superficie geometrica

In Italia si usa l'**elissoido di Hayford**, orientato in corrispondenza del osservatorio di Roma Monte Mario.

Orientare un elissoido significa ipotizzare che in quel punto (Roma Monte Mario) elissoido e geoida siano tangenti in senso stretto. Le normali alle due superfici sono coincidenti



$$\begin{cases} \phi = \varphi \\ \lambda = \lambda \\ H = h \quad (N=0) \end{cases}$$

Punto
di orientazione
↳ di sotto
 $h = H + N$

Averemo che

$$\begin{cases} \Delta\phi \approx \Delta\varphi \\ \Delta\lambda \approx \Delta\lambda \\ h = H + \Delta N \end{cases}$$

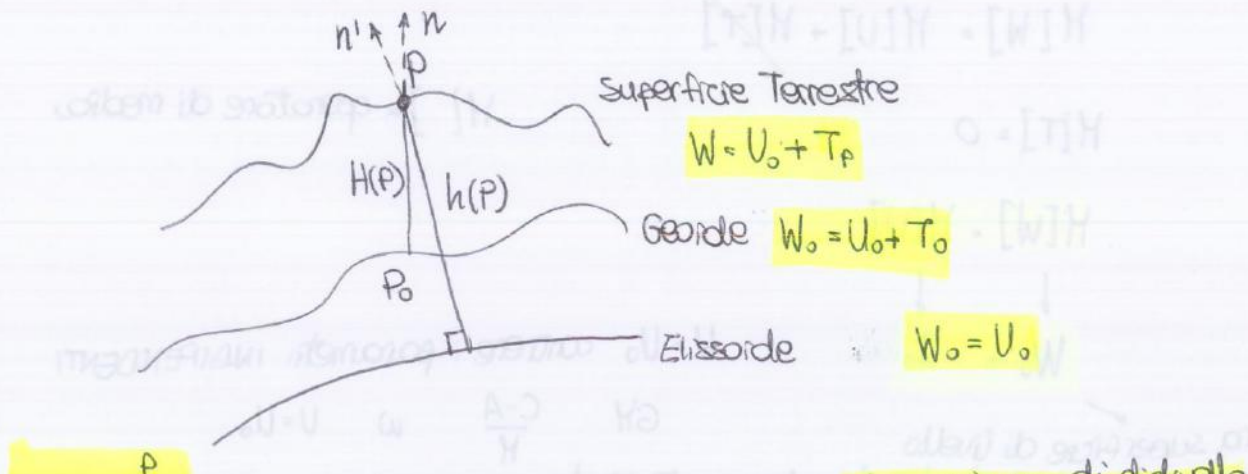
Un elissoido locale è un elissoido globale rotolato su un punto in maniera che la normale alla superficie sia concorrente con quella del geoida nello stesso punto e a cui viene eventualmente applicato un fattore di scala per esigenze cartografiche

$$\begin{pmatrix} X \\ Y \\ Z \end{pmatrix}_1 = \begin{pmatrix} X_0 \\ Y_0 \\ Z_0 \end{pmatrix} + \lambda R \begin{pmatrix} x \\ y \\ z \end{pmatrix}_2$$

GEOIDE → Superficie fisica equipotenziale

Il geoid è:

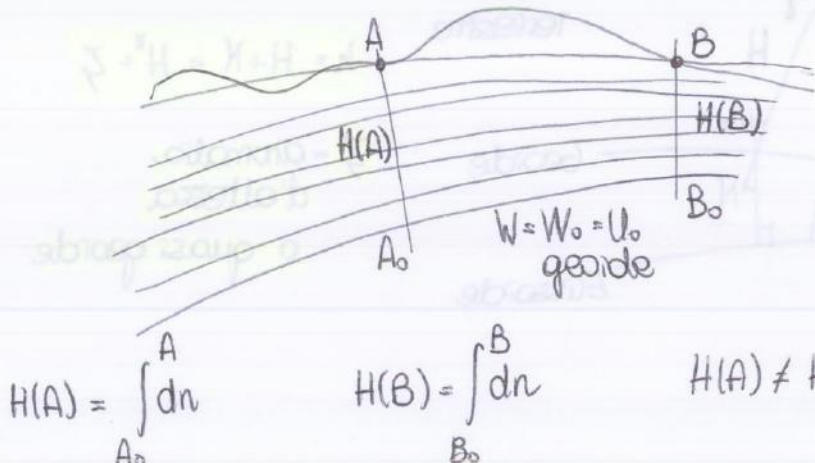
- una superficie equipotenziale del campo di gravità $W = W_0$
- il potenziale terrestre che si misura al livello medio del mare in quiete o anche la superficie media del mare in quiete
- superficie che rende, in media, il potenziale anomalo uguale a zero



$$H(P) = \int_{P_0}^P dn$$

H = altezza ortometrica

dn = misura di distinzione



$$H(A) \neq H(B)$$

Le curve sono superfici equipotenziali. Se versassi dell'acqua in A l'acqua si disporrebbe sulla superficie passante per A e B

Da cui segue $H(A) = H(B)$. Questo non è vero!

Questo accade perché le linee equipotenziali in B sono più vicine in quanto la gravità è maggiore.

ζ = quasi geoida o anomalia d'altezza e vale

$$\zeta = \frac{T}{\gamma}$$

altezza ellissoidica

con i valori da GPS possiamo calcolare con precisione centimetrica i valori di h . Se il geoida fosse noto con la stessa precisione, sarebbe possibile ricavare H con altrettanta precisione, unificando i sistemi altimetrici di tutto il globo.

EVRS = European Vertical Reference System

la superficie di riferimento verticale non è rappresentata dal livello medio del mare in quiete ma da quella superficie per cui in media il potenziale di gravità della terra W_0 è uguale al potenziale normale medio della terra W_0 .

Le altezze sono ΔW_p → differenze tra il potenziale nel punto p (W_p) e il potenziale EVRS (W_0)

Definendo il numero GEOPOTENZIALE $C_p = W_0 - W_p = -\Delta W_p$

per trasformarlo in un' altezza lo si divide per γ

$$H^N = \frac{C_p}{\gamma}$$

Calcolato partendo dalle misure di livellazione

Partendo invece dalle altezze ellissoidiche misurate con il GPS

$$W_p = U_p + T_p$$

$$\zeta = \frac{W_p - W_0}{\gamma}$$

h è misurato con GPS

$$H^N = h - \zeta$$

quota geopotenziale
riferita al geoida

SISTEMA di RIFERIMENTO ITALIANO

RETE TRIGONOMETRICA CLASSICA : 20 000 vertici trigonometrici
ottenuti per triangolazione e
trilaterazione
interdistanza di 5 km

RETE IGM 95 : 2000 punti di interdistanza 20 km
determinata con tecniche GPS
Inquadrata nel sistema europeo ETRF 89

RETE DINAMICA NAZIONALE : connessa a ETRF 2000
RDN una stazione permanente ogni 100 km
le coordinate delle stazioni permanenti
sono calcolate ogni 6 mesi
da rete e infilata tramite stazioni
permanenti regionali.

Tutti i vertici IGM 95 sono stati aggiornati alle coordinate RDN
Si utilizzano programmi come CARILAB e VERO per passare da
un sistema all'altro.

$$\rho_{x_1, x_2} = \frac{\sigma_{x_1 x_2}}{\sigma_{x_1} \sigma_{x_2}} = \frac{-1}{\sqrt{2} \cdot \sqrt{2}} = -0,5$$

Indice di
variazione lineare

Si ottiene quindi $\sigma_y^2 = (\alpha_1^*)^2 \sigma_{x_1}^2 + (\alpha_2^*)^2 \sigma_{x_2}^2 + \dots + 2\alpha_i \alpha_j \sigma_{ij}$

se abbiamo costanti

Esempio → RELAZIONE Y NON LINEARE

Se la relazione di Y che collega misure dirette a misure indirette non è lineare, non possiamo applicare la legge di propagazione varianza - covarianza. Bisogna allora linearizzare Y

$$y = f(x)$$

$$y_i = f_i(x_1, x_2, \dots, x_n) \rightarrow y_i \approx f_i(x_1^0, x_2^0, \dots, x_n^0) + \frac{\partial f_i}{\partial x_1} \Delta x_1 + \frac{\partial f_i}{\partial x_2} \Delta x_2 + \dots + \frac{\partial f_i}{\partial x_n} \Delta x_n$$

y_1

\vdots

y_m

In forma matriciale

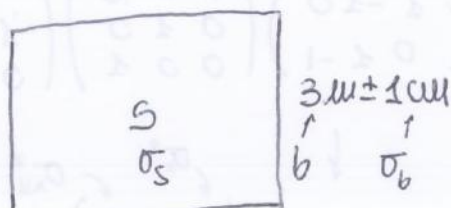
$$\underline{y} = \underline{b} + \begin{bmatrix} \frac{\partial f_1}{\partial x_1} & \frac{\partial f_1}{\partial x_2} & \dots & \frac{\partial f_1}{\partial x_n} \\ \frac{\partial f_2}{\partial x_1} & \dots & \dots & \dots \\ \dots & \dots & \dots & \dots \\ \frac{\partial f_m}{\partial x_n} & \dots & \dots & \dots \end{bmatrix} \begin{bmatrix} \Delta x_1 \\ \Delta x_2 \\ \vdots \\ \Delta x_n \end{bmatrix}$$

In cui

$$\underline{b} = \begin{bmatrix} f_1^0 \\ f_2^0 \\ \vdots \\ f_m^0 \end{bmatrix}$$

$[J]$ MATRICE
JACOBIANA
" $[A]$

Vogliamo misurare la superficie di un tondo conoscendo i due lati



$$M[S] = 4 \times 3 = 12 \text{ m}^2$$

Vogliamo calcolare σ_S

$$a \xrightarrow{4 \pm 1 \text{ cm}}$$

MINIMI QUADRATI

d'approssimazione ai minimi quadrati c'è una tecnica di ottimizzazione volta a determinare una funzione analitica che approssimi un insieme di dati senza necessariamente passare per i dati stessi.

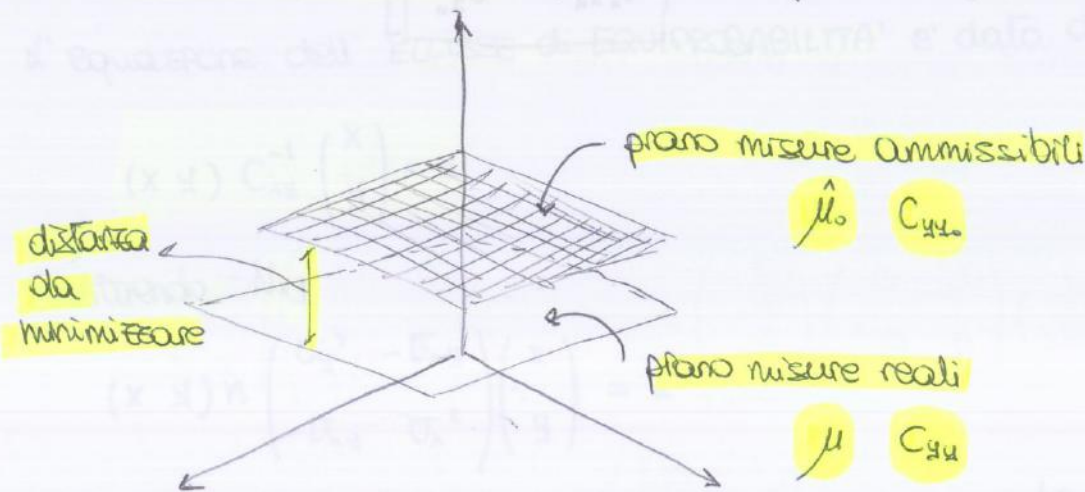
Si usa quando abbiamo più misure che incognite.

Se vado a rappresentare nello spazio le misure eseguite di una determinata grandezza, esse graviteranno su un piano.

Esse sono affette da errore. Quelle corrette si trovano su un altro piano.

Voglio determinare la distanza tra i due piani.

Il processo dei minimi quadrati permette di minimizzare la distanza minimizzando la somma del quadrato degli scarti



Supponiamo di dover stimare r grandezze (incognite) avendo effettuato n misure (termini noti). Generalmente $n > r$ (altrimenti i minimi quadrati non si possono applicare)

Il sistema che lega le n misure alle r incognite è del tipo

$$[A] \begin{bmatrix} x \end{bmatrix} = [l]$$

MATRICE DISEGNO $r \times n$

vettore delle incognite r

vettore dei termini noti h

Dopo aver calcolato le grandezze stimate \hat{x} , sostituendole nel sistema

$$A\hat{x} - b = \vec{v} \quad \text{calcolo gli scarti stimati}$$

Possiamo infine calcolare la varianza dell'unità di peso

$$\hat{\sigma}_e^2 = \frac{\vec{v}^T P \vec{v}}{n-r} \quad n-r = \text{ridondanza}$$

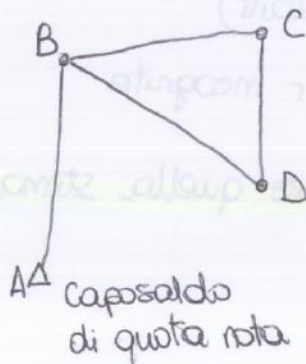
Si ottiene infine la matrice di varianza covarianza delle stime \hat{x}

$$C_{\hat{x}\hat{x}} = \hat{\sigma}_e^2 N^{-1}$$

ESEMPIO (Tipo Esame !!)

ditta di livellazione

Abbiamo misurato i dislivelli



$$\begin{cases} \Delta_{AB} = Q_B - Q_A \\ \Delta_{BC} = Q_C - Q_B \\ \Delta_{CD} = Q_D - Q_C \\ \Delta_{DB} = Q_B - Q_D \end{cases}$$

Poniamo in forma matriciale le equazioni dei dislivelli

$$\begin{bmatrix} \Delta_{AB} \\ \Delta_{BC} \\ \Delta_{CD} \\ \Delta_{DB} \end{bmatrix} = \begin{bmatrix} 1 & 0 & 0 \\ -1 & 1 & 0 \\ 0 & -1 & 1 \\ 1 & 0 & -1 \end{bmatrix} \begin{bmatrix} Q_B \\ Q_C \\ Q_D \end{bmatrix} + \begin{bmatrix} -Q_A \\ 0 \\ 0 \end{bmatrix}$$

↑ vettore misure assennate ↑ A: matrice disegno ↑ vettore x incognite ↑ vettore termini noti b

Definiamo la matrice NORMALE

$$N = A^T P A$$

dove

P matrice dei pesi delle misure

la soluzione del sistema è data da

$$\hat{x} = N^{-1} A^T P b = N^{-1} A^T P (y - b)$$

Inserisco P

$$A^T P A \hat{x} = A^T P y_0$$

Ora trovo \hat{x}

$$\hat{x} = \underbrace{(A^T P A)^{-1}}_{N^{-1}} A^T P y_0$$

$$(A^T P A)^{-1} A^T P = (A^T A)^{-1} A^T \text{ proiettore}$$

$$N^{-1} A^T P \rightarrow P = A N^{-1} A^T P$$

$$P = A(A^T A)^{-1} A^T$$

RIDONDANZA

P è una matrice che ha sulla diagonale le ridondanze locali

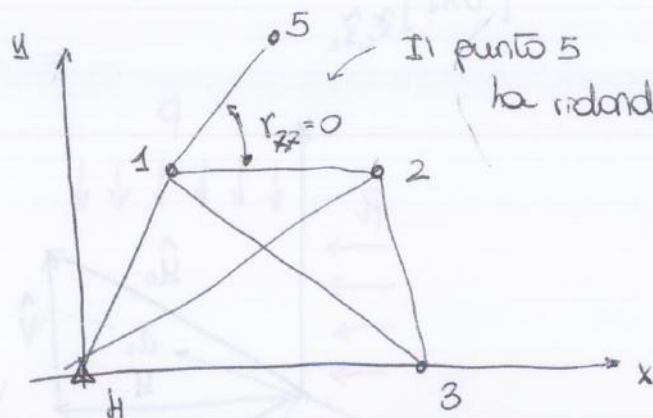
$$R = I - P = I - P A N^{-1} A^T \quad I = \text{matrice identità}$$

da proprietà di questa matrice è indicare il contributo che ogni singola misura apporta alla ridondanza globale.

P può essere nota a priori, cioè prima di aver effettuato le misure

E' importante che le misure non abbiano ridondanza locale nulla.

Se una misura ha ridondanza locale nulla è una misura inutile che non serve per i minimi quadrati



Il punto 5
ha ridondanza locale 0

$$V = P y_0$$

$$\begin{pmatrix} \Delta V_1 \\ \Delta V_2 \\ \Delta V_3 \end{pmatrix} = \begin{bmatrix} r_1^1 & r_1^2 & r_1^3 \\ \vdots & \vdots & \vdots \\ r_3^1 & r_3^2 & r_3^3 \end{bmatrix} \begin{pmatrix} 0 \\ \Delta Y_2 \\ 0 \end{pmatrix}$$

$\Delta V_1 = r_1^2 \Delta Y_2$ ← tutti gli scarti sono sporcatisi.
 errore nella misura

PROCESSO di STIMA

Il processo di stima consiste di due operazioni

- simulazione
- compensazione

SIMULAZIONE

Possiamo scrivere la matrice disegno, e quindi calcolare R , ancora prima di effettuare le misure, basterà sapere come effettuiamo le misure e quindi come sono legate tra di loro.

Possiamo anche determinare C_{xx} ponendo $\sigma_o^2 = k = \text{costante}$

$$C_{xx} = \sigma_o^2 N^{-1}$$

$C_{xx} = k N^{-1}$ ← Ci permette di sapere quali sono le precisioni attese nella misura

$$R = I - AN^{-1}A^T$$

COMPENSAZIONE

Dopo aver fatto le misure → valuto \hat{x} = grandezze stimate

Per avere \hat{x} piccolo dobbiamo:

$C_{\hat{x}\hat{x}} = \hat{\sigma}_o^2 N^{-1}$ matrice di varianza
covarianza delle stime

• fare misure bene → $\hat{\sigma}_o$ è piccolo

• $n-n$ è grande → la ridondanza è grande

FISSARE IL SR (DATUM)

• fissare una riferita significa vincolare i gradi di libertà del sistema.

Rete planimetrica → fissa 2 traslazioni
1 rotazione

Rete 3D → fissa 3 traslazioni
1 rotazione

Fissare il datum non comporta una dipendenza degli scarti, invece influenzta le ellissi di errore.

Le ellissi sono tanto più grandi quanto più lontane dal punto fisso.

$$X_{\text{m}} = \frac{\max_i \sum_{j=1}^n N_{ij}}{\max_i \sum_j N_{ij}}$$

In pratica si sommano le matrici colonne delle matrici N e N^{-1} e si prende il max delle somme di N e di N^{-1}

TEST PARAMETRICI

se le misure sono distribuite normalmente possiamo considerare

σ_0^2 = ipotesi

$\hat{\sigma}_0^2$ = stimato tramite i minimi quadrati

$(m-n) = r$ = ridondanza

numero
scarti

numero incognite
ricavate

Dove valere

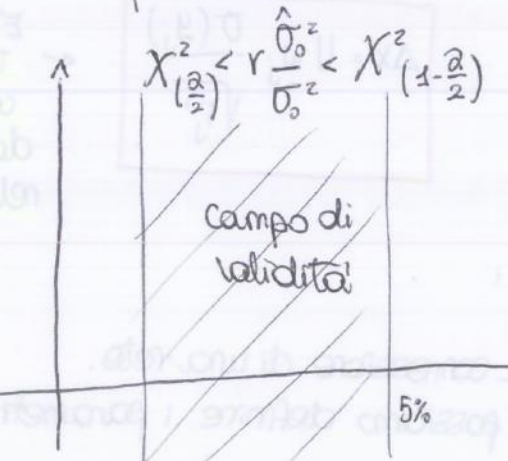
$$(m-n) \frac{\hat{\sigma}_0^2}{\sigma_0^2} \sim \chi^2_{m-n}$$

se abbiamo operato un errore nella matrice desegno A o degli errori nelle misure avremo $\hat{\sigma}_0^2$ aumentata di un certo valore

Se

$$(m-n) \frac{\hat{\sigma}_0^2}{\sigma_0^2} > P(5\%) \quad \text{allora c'è un errore di misura}$$

↪ probabilità del 5%



Possiamo eseguire il test

- ad una coda
- a due code

Se abbiamo una sovraparametrizzazione che fa implodere

$\frac{\hat{\sigma}_0^2}{\sigma_0^2}$ e cioè diventa TROPPO piccolo

metto un limite minimo a χ^2

FILTRI di KALMAN e minimi quadrati sequenziali (SLS)

L'idea di partenza è quella di aggiornare una stima ai minimi quadrati ogni volta che si aggiunge una misura, senza dover ric算calcare il sistema.

I minimi quadrati prevedono

$$Ax + a = y$$

Con misure reali y_0 avremo

$$Ax + a - y_0 = y - y_0 = v$$

$$Ax - b = v$$

$$b = y_0 - a$$

Si risolve trovando la x per la quale $\frac{v^T P v}{r} = \text{min}$, $r = \text{ridondanza}$

Ovvero ottenendo il sistema si calcola

$$N^{-1} = (A^T P A)^{-1}$$

$$\text{e quindi } \hat{x} = N^{-1} A^T P b = N^{-1} A^T P (y_0 - a)$$

Se aggiungiamo altre misure $y_{0(i+1)}$ avremo che

$$\hat{x}_{i+1} = L \hat{x}_i + k b_{i+1}$$

parametri precedenti

nuove misure

La difficoltà è nel calcolo di L e k

Separiamo i parametri definendo

$$\hat{x}_{i+1} = \hat{x}_i + k(b_{i+1} - A_{i+1} x_i)$$

d'unica incognita è k e non più L

k = filtro di Kalman

FILTO di KALMAN

sono due procedure

■ FILTERING

■ SMOOTHING

Il filtering è indispensabile, lo smoothing può non essere fatto se ad esempio siamo interessati alle deformazioni di una rete GPS, sequità in tempo reale.

FILTERING

- Predizione → usa le **equazioni di stato**
- Correzione → usa le **equazioni di misura**

Le **equazioni di stato** sono generalmente le **equazioni del moto** del punto di cui si prende la misura in epoche diverse.

Già non è sempre detto. Possiamo anche lavorare in un **sistema statico**, dove il punto non si muove di nessun moto. In quel caso l'**equazione di stato** assume la forma $\hat{x}_k = \hat{x}_{k-1}$ cioè il punto ha sempre la stessa misura all'epoca k e all'epoca $k-1$. In generale le **equazioni sono**

■ Predizione

$$\hat{x}_{k/k-1} = T_{k-1} \hat{x}_{k-1/k-1}$$

$[T]$ = matrice di transizione

$\hat{x}_{k/k-1}$
 → posizione
 all'epoca k con le misure
 effettuate fino all'epoca $k-1$

Già significa semplicemente **immaginare** dove si sposta un punto, cioè **quali saranno le sue nuove coordinate**, conoscendo le coordinate iniziali (quelle dell'epoca $k-1$) e la **legge del moto** a cui il punto è soggetto

■ Correzione

$$\hat{x}_{k/k} = \hat{x}_{k/k-1} + K_k (b_k - A_k \hat{x}_{k/k-1})$$

La **correzione** prende il valore che abbiamo approssimato, e vi aggiunge un termine. Questo termine fa uso della matrice di Kalman moltiplicata per una sorta di scarto predetto.

b_k = termine misurato all'epoca k , cioè la nostra nuova misura

PROCEDIMENTO tramite un ESEMPIO

Moto rettilineo accelerato. A diverse epoche $t = t_0, t_2, t_3, t_n$ si sono misurate $b_0, b_1, b_2, \dots, b_n$, per ogni x abbiamo anche \ddot{x}_0

d'equazione del moto è $x = \frac{t^2}{2} \ddot{x} + x_0$

le equazioni di stato sono

$$\begin{cases} x_{n+1} = x_n + \ddot{x}_n \frac{\Delta t^2}{2} \\ \ddot{x}_{n+1} = \ddot{x}_n \end{cases}$$

$$\rightarrow \begin{cases} x_{n+1} \\ \ddot{x}_{n+1} \end{cases} = \begin{bmatrix} 1 & \frac{\Delta t^2}{2} \\ 0 & 1 \end{bmatrix} \begin{cases} x_n \\ \ddot{x}_n \end{cases}$$

[T]

INNESCO ai MINIMI QUADRATI

Per cominciare la procedura del metodo di Kalman, è necessario partire da dei valori iniziali stimati con i minimi quadrati.

$$[A] \{x\} = \{b\}$$

Ci servono x_0, \ddot{x}, x_1

$$[A] \begin{bmatrix} x_0 \\ \ddot{x} \\ x_1 \end{bmatrix} = \begin{bmatrix} b_0 \\ 0 \\ b_1 \end{bmatrix}$$

dove b_0 e b_1 sono i valori misurati

le equazioni utilizzate sono

$$\begin{cases} x_0 = b_0 \\ x_1 = x_0 + \ddot{x} \frac{\Delta t^2}{2} \\ x_1 = b_1 \end{cases}$$

$$\rightarrow \begin{bmatrix} 1 & 0 & 0 \\ 1 & \frac{\Delta t^2}{2} & -1 \\ 0 & 0 & 1 \end{bmatrix} \begin{bmatrix} x_0 \\ \ddot{x} \\ x_1 \end{bmatrix} = \begin{bmatrix} b_0 \\ 0 \\ b_1 \end{bmatrix}$$

matrice disegno [A]

$$[N] = A^T P A$$

la matrice P dei pesi è ottenuta prendendo i termini sulla diagonale della matrice di varianza covarianza

$$P = \text{diag} \begin{bmatrix} C_{ee} \\ C_{\dot{e}\dot{e}} \end{bmatrix}$$

Trovato N invertiamo e abbiamo N^{-1}

$$\hat{x} = N^{-1} A^T P b$$

avranno i termini iniziali x_0, \ddot{x}, x_1

Vediamo ora

$$\begin{pmatrix} \ddot{x} \\ \ddot{\ddot{x}} \end{pmatrix}_{2/2} = \begin{pmatrix} \ddot{x} \\ \ddot{\ddot{x}} \end{pmatrix}_{2/1} + K_2 \left[b_2 - A_2 \begin{pmatrix} \ddot{x} \\ \ddot{\ddot{x}} \end{pmatrix}_{2/1} \right]$$

Possiamo inoltre calcolare

$$Q_{2/2} = (I - K_2 A_2) Q_{2/1}$$

che ci servirà poi per il calcolo
di $Q_{3/2}$

Procediamo iterativamente con la predizione di $\begin{pmatrix} \ddot{x} \\ \ddot{\ddot{x}} \end{pmatrix}_{3/2}$, il calcolo di $Q_{3/2}$. Il calcolo di A_3 e K_3
e successivamente la correzione fino ad arrivare a $\begin{pmatrix} \ddot{x} \\ \ddot{\ddot{x}} \\ \ddot{\ddot{\ddot{x}}} \end{pmatrix}_{3/3}$
Così via per tutte le epochhe.

SMOOTHING

All'epocha k , si è determinata una soluzione che teneva in conto delle misure alle epochhe precedenti, ma non delle epochhe successive.
Per avere le stime corrette di tutte le misure all'epocha finale, dobbiamo operare un procedimento inverso per aggiornare tutte le misure che sono rimaste a $x_{k|k}$.

$x_{k|N}$
epoca
la stima
usa le misure di tutte le N epochhe

Si usa la formula

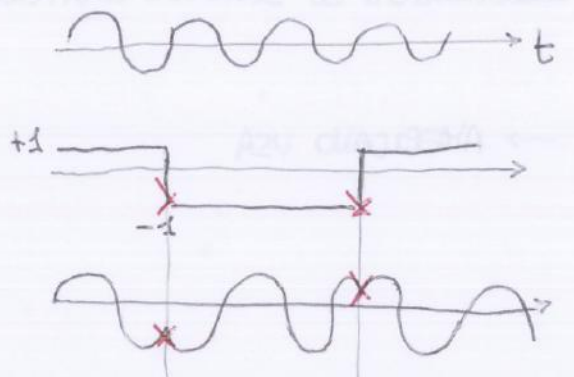
$$x_{k|N} = x_{k|k} + B_k (x_{k+1|N} - x_{k+1|k})$$

$$\text{Dove } B_k = Q_{k|k} T_k^\top Q_{k+1|k}^{-1}$$

Per esempio se ho 4 epochhe di misura

$$B_3 = Q_{3|3} T_3^\top Q_{4|3}^{-1} \rightarrow x_{3|4} = x_{3|3} + B_3 (x_{4|4} - x_{4|3})$$

- Componente messaggio → codice di navigazione che contiene le effemeridi dei satelliti, informazioni sugli errori di orologio di bordo e sui ritardi ionosferici



PORTANTE

CODICE

BROADCAST SIGNAL

Possiamo ricavare la distanza satellite ricevitore attraverso misure

- Misure di codice → il codice satellite e il codice che ha in memoria il ricevitore vengono confrontati e viene ricavata la AT tra i due codici
- Misure di fase

↓
numero di cicli interi
che compre l'onda
+
parte frazionaria

In particolare sarà nota e misurata la parte frazionaria, mentre il numero di cicli interi sarà una incognita del sistema chiamata ATTRIBUITA di FASE

Le misure di codice sono usate per posizionamento istantaneo (bassa precisione)

Misure di fase per posizionamento post-processing

de scale di tempo

TAI = tempo atomico internazionale → radiazione dell'atomo di cesio

GMT = tempo solare medio di Greenwich → legato al tempo di rotazione della terra

UTC = tempo universale coordinato → è mantenuto con orologi atomici

Codice messaggio

D o NAV frequenza di 50 Hz contiene informazioni sui satelliti

CNAV contiene ulteriori informazioni sugli asincronismi delle scale di tempo e un FLAG di avvertimento se il satellite non funziona per molto tempo.

Vedi pag. 23 per gli altri sistemi GNSS

GPS: messaggio di navigazione

GLONASS: messaggio di navigazione

Galileo: messaggio di navigazione

Bei: messaggio di navigazione

QZSS: messaggio di navigazione

Sbas: messaggio di navigazione

da distanza sarà calcolata moltiplicando l'intervallo di tempo per la velocità della luce nel vuoto c

$$p_i^j = c \Delta t$$

p_i^j è detto PSEUDORANGE. Non è il valore corretto della distanza ricevitore satellite poiché vi sono errori di orologio tra l'orologio del satellite e quello del ricevitore

$$p_i^j(t) = c [(t_i^j + \delta_i^j(t)) - (t_i - \delta_i(t))] = c \underbrace{(t_i^j - t_i)}_{R_i^j} + c \delta_i^j(t) + c \delta_i(t)$$

$$p_i^j = R_i^j + c \delta_i(t) + c \delta_i^j(t)$$

R_i^j = range effettivamente misurato (PSEUDORANGE)

$\delta_i(t)$ = errore d'orologio del ricevitore

p_i^j = RANGE ← incognito

$\delta_i^j(t)$ = errore d'orologio del satellite

R_i^j = PSEUDORANGE

↑ misurato

$\delta_i^j(t)$ generalmente è noto tramite modellazioni polinomiali.

Si considera incognito solamente il valore $\delta_i(t)$.

Separando i termini noti da quelli incogniti avremo

$$R_i^j + c \delta_i^j(t) = p_i^j - c \delta_i(t)$$

Le incognite di questa equazione sono p_i^j e $c \delta_i(t)$

p_i^j $\xrightarrow{x_i}$ y_i $\xrightarrow{z_i}$ 3 incognite del posizionamento del ricevitore

$c \delta_i(t)$ → errore di orologio del ricevitore

Affioriamo quindi 4 incognite. Per trovare una soluzione dobbiamo avere

da determinazione dell'ambiguità di fase N_i^j può essere effettuata considerando un satellite per più epochhe e tenendo presente che si ipotizza N_i^j rimane fissa per lo stesso satellite in epochhe diverse.

CYCLE SLIP = perdita di contatto tra ricevitore e satellite che comporta l'introduzione di una nuova incognita ambiguità di fase

Considerando che $f = \frac{c}{\lambda}$ avremo

$$\frac{p_i^j}{\lambda} = \phi_i^j + N_i^j + \frac{c}{\lambda} (\delta_i(t) + \delta_i^j(t))$$

$$\phi_i^j(t) + f^j \delta_i^j(t) = \underbrace{\frac{1}{\lambda} p_i^j(t)}_{\text{errore di orologio del satellite}} - N_i^j - \underbrace{f^j \delta_i(t)}_{\text{errore di orologio del ricevitore}}$$

errore di
orologio del
satellite

errore di
orologio del
ricevitore

Il posizionamento cinemático con le misure di fase non è possibile se non si conoscono le ambiguità di fase.

Si effettua l'INIZIALIZZAZIONE fissando le ambiguità di fase e a quel punto si possono risolvere le equazioni come per il posizionamento con misure di codice



■ Per la soluzione STATICÀ

Dobbiamo considerare più errori di orologio relativi al ricevitore $cd_i(t)$ a tutte le epochhe di misura

Averemo una incognita in più per ogni epoca di misura

$$cd_i(t_1) \quad cd_i(t_2) \dots$$

■ POSIZIONAMENTO ASSOLUTO di FASE

Equazione della fase

$$\underbrace{\phi_i^j(t)\lambda}_\text{fase} + \underbrace{cd_i^j(t)}_\text{errore di orologio satellite} = \underbrace{cp_i^j(t) - N_i^j\lambda}_\text{pseudo range} - \underbrace{cd_i(t)}_\text{ambiguità di fase} \rightarrow \underbrace{\text{errore di orologio ricevitore}}$$

N sarà incognita per ogni satellite

$$\begin{bmatrix} A & + & \begin{matrix} \lambda_i^{(1)} \\ \lambda_i^{(2)} \\ \lambda_i^{(3)} \\ \lambda_i^{(4)} \\ 0 \\ \lambda_i^{(5)} \end{matrix} & 0 \end{bmatrix} \begin{bmatrix} X_i \\ Y_i \\ Z_i \\ N_i^{(1)} \\ N_i^{(2)} \\ \vdots \\ N_i^{(5)} \\ cd_i \end{bmatrix} - \begin{bmatrix} \phi_i^{(1)} + cd_i^{(1)} - p_i^{(1)} \\ \vdots \\ \vdots \\ \vdots \\ \vdots \\ \vdots \\ \vdots \end{bmatrix} = \begin{bmatrix} V^{(1)} \\ V^{(2)} \\ V^{(3)} \\ V^{(4)} \\ V^{(5)} \end{bmatrix}$$

Incognite termini noti scarsi

CASO STATICO

Ad ogni epoca di misura avremo una incognita di asincronismo cd_i

CASO CINEMATICO

Averemo 3 nuove incognite di posizione

Ad ogni epoca di misura ci saranno altre n equazioni per gli n satelliti
dopo un po' di epochhe le incognite saranno meno delle equazioni e il sistema diventa risolvibile anche nel caso cinematico.

Possiamo fissare ad intero l'ambiguità di fase (INIZIALIZZAZIONE) e risolvere le equazioni come pseudo-range

Effemeridi Broadcast: effemeridi predette contenute nel messaggio di navigazione

Effemeridi ultra rapide predette: calcolate con anticipo di qualche ora

Effemeridi a posteriori: calcolate a posteriori con precisione centimetrica

Rifrazione troposferica

Troposfera è la parte bassa dell'atmosfera (~20 km). Avvengono i fenomeni meteorologici.

La troposfera causa rifrazione sul segnale GNSS per via del vapore acqueo. Abbiamo quindi un ritardo del segnale. Esso è indipendente dalla frequenza del segnale.

L'errore troposferico è molto alto se i satelliti non sono alti di 15° sopra la linea dell'orizzonte.

Rifrazione ionosferica

La ionosfera è la parte alta dell'atmosfera. Vi avvengono dei fenomeni di ionizzazione dovuti alle radiazioni solari, queste provocano rifrazione dei segnali in base alla loro frequenza.

COMBINAZIONE IONO-FREE

Distanza r_{ij} ricevitore i
satellite j } misurata con portanti L_1 e L_2

Il range r_{ij} ottenuto dalle combinazioni delle frequenze f_1 e f_2 è esente dall'effetto del ritardo ionosferico.

Per basi > 15 km serve usare almeno 2 frequenze. Al di sotto di 15 km il ritardo ionosferico viene eliminato tramite differenziazione.

Multipath

Il segnale arriva all'antenna in maniera indiretta e viene riflesso durante il percorso.

È un ritardo difficilmente modellabile perché dipende dalla geometria e dalla presenza di ostacoli. Dipende dalla frequenza.

POSIZIONAMENTO RELATIVO

Determinazione del vettore **BASELINE** che congiunge due ricevitori.

Uno di questi è chiamato **MASTER** e generalmente è posto su un punto di coordinate note.

L'altro è chiamato **ROVER**.

Il posizionamento relativo può essere fatto sia per misure di fase che per misure di codice. Nella realtà si fanno solo misure di fase poiché hanno precisione più elevata.

EQUAZIONE della MISURA di FASE

$$\phi_i^j(t) + \underbrace{f^j \delta_i^j(t)}_{\text{Errore di orologio del satellite}} = \frac{1}{\lambda} p_i^j(t) - N_i^j - \underbrace{f^j \delta_i(t)}_{\text{ambiguità di fase}} + \underbrace{I_i^j(t)}_{\text{Errore di orologio ricevitore}} + \underbrace{T_i^j(t)}_{\substack{\text{Ritardo ionosferico} \\ \text{Ritardo troposferico}}} + \underbrace{E_i^j(t)}_{\text{Errore di effemeride}}$$

DIFFERENZE SINGOLE

Abbiamo 2 ricevitori e 1 satellite



$$\phi_A^j + f^j \delta_A^j(t) = \frac{1}{\lambda} p_A^j(t) - N_A^j - f^j \delta_A(t) + I_A^j(t) + T_A^j(t) + E_A^j(t)$$

$$\phi_B^j + f^j \delta_B^j(t) = \frac{1}{\lambda} p_B^j(t) - N_B^j - f^j \delta_B(t) + I_B^j(t) + T_B^j(t) + E_B^j(t)$$

Sottraendole avremo

$$\phi_A^j - \phi_B^j = \frac{1}{\lambda} (p_A^j - p_B^j) - N_A^j + N_B^j + f^j (\delta_B - \delta_A) + \Delta I_{AB}^j + \Delta T_{AB}^j + \Delta E_{AB}^j$$

DIFFERENZE TRIPLE

Consideriamo 2 epochhe di misura diverse t_1 e t_2

le doppie differenze a t_1 e t_2 sono

$$\phi_{AB}^{jk}(t_1) = \frac{1}{\lambda} p_{AB}^{jk}(t_1) - N_{AB}^{jk}$$

$$\phi_{AB}^{jk}(t_2) = \frac{1}{\lambda} p_{AB}^{jk}(t_2) - N_{AB}^{jk}$$

se si fa la differenza tra le due le ambiguità di fase si elidono

$$\phi_{AB}^{jk}(t_2) - \phi_{AB}^{jk}(t_1) = \frac{1}{\lambda} (p_{AB}^{jk}(t_2) - p_{AB}^{jk}(t_1))$$

$$\downarrow$$

$\phi_{AB}^{jk}(t_{12}) = \frac{1}{\lambda} p_{AB}^{jk}(t_{12})$

Equazione alle
differenze triple

Vantaggio \Rightarrow non dipendono dalle ambiguità di fase e quindi non è affetto dal cycle slif.

$\frac{1}{\lambda} p_{AB}^{jk} + \frac{1}{\lambda} p_{AB}^{ki} + \frac{1}{\lambda} p_{AB}^{ij} + \frac{1}{\lambda} p_{AB}^{jk} - \frac{1}{\lambda} p_{AB}^{ki} - \frac{1}{\lambda} p_{AB}^{ij} = \frac{1}{\lambda} p_{AB}^{jk} - \frac{1}{\lambda} p_{AB}^{ki} - \frac{1}{\lambda} p_{AB}^{ij}$

$\frac{1}{\lambda} p_{AB}^{jk} + \frac{1}{\lambda} p_{AB}^{ki} + \frac{1}{\lambda} p_{AB}^{ij} + \frac{1}{\lambda} p_{AB}^{jk} - \frac{1}{\lambda} p_{AB}^{ki} - \frac{1}{\lambda} p_{AB}^{ij} = \frac{1}{\lambda} p_{AB}^{jk} - \frac{1}{\lambda} p_{AB}^{ki} - \frac{1}{\lambda} p_{AB}^{ij}$

$\frac{1}{\lambda} p_{AB}^{jk} + \frac{1}{\lambda} p_{AB}^{ki} + \frac{1}{\lambda} p_{AB}^{ij} + \frac{1}{\lambda} p_{AB}^{jk} - \frac{1}{\lambda} p_{AB}^{ki} - \frac{1}{\lambda} p_{AB}^{ij} = \frac{1}{\lambda} p_{AB}^{jk} - \frac{1}{\lambda} p_{AB}^{ki} - \frac{1}{\lambda} p_{AB}^{ij}$

$\frac{1}{\lambda} p_{AB}^{jk} + \frac{1}{\lambda} p_{AB}^{ki} + \frac{1}{\lambda} p_{AB}^{ij} + \frac{1}{\lambda} p_{AB}^{jk} - \frac{1}{\lambda} p_{AB}^{ki} - \frac{1}{\lambda} p_{AB}^{ij} = \frac{1}{\lambda} p_{AB}^{jk} - \frac{1}{\lambda} p_{AB}^{ki} - \frac{1}{\lambda} p_{AB}^{ij}$

$\frac{1}{\lambda} p_{AB}^{jk} + \frac{1}{\lambda} p_{AB}^{ki} + \frac{1}{\lambda} p_{AB}^{ij} + \frac{1}{\lambda} p_{AB}^{jk} - \frac{1}{\lambda} p_{AB}^{ki} - \frac{1}{\lambda} p_{AB}^{ij} = \frac{1}{\lambda} p_{AB}^{jk} - \frac{1}{\lambda} p_{AB}^{ki} - \frac{1}{\lambda} p_{AB}^{ij}$

$\frac{1}{\lambda} p_{AB}^{jk} + \frac{1}{\lambda} p_{AB}^{ki} + \frac{1}{\lambda} p_{AB}^{ij} + \frac{1}{\lambda} p_{AB}^{jk} - \frac{1}{\lambda} p_{AB}^{ki} - \frac{1}{\lambda} p_{AB}^{ij} = \frac{1}{\lambda} p_{AB}^{jk} - \frac{1}{\lambda} p_{AB}^{ki} - \frac{1}{\lambda} p_{AB}^{ij}$

$\frac{1}{\lambda} p_{AB}^{jk} + \frac{1}{\lambda} p_{AB}^{ki} + \frac{1}{\lambda} p_{AB}^{ij} + \frac{1}{\lambda} p_{AB}^{jk} - \frac{1}{\lambda} p_{AB}^{ki} - \frac{1}{\lambda} p_{AB}^{ij} = \frac{1}{\lambda} p_{AB}^{jk} - \frac{1}{\lambda} p_{AB}^{ki} - \frac{1}{\lambda} p_{AB}^{ij}$

$\frac{1}{\lambda} p_{AB}^{jk} + \frac{1}{\lambda} p_{AB}^{ki} + \frac{1}{\lambda} p_{AB}^{ij} + \frac{1}{\lambda} p_{AB}^{jk} - \frac{1}{\lambda} p_{AB}^{ki} - \frac{1}{\lambda} p_{AB}^{ij} = \frac{1}{\lambda} p_{AB}^{jk} - \frac{1}{\lambda} p_{AB}^{ki} - \frac{1}{\lambda} p_{AB}^{ij}$

$\frac{1}{\lambda} p_{AB}^{jk} + \frac{1}{\lambda} p_{AB}^{ki} + \frac{1}{\lambda} p_{AB}^{ij} + \frac{1}{\lambda} p_{AB}^{jk} - \frac{1}{\lambda} p_{AB}^{ki} - \frac{1}{\lambda} p_{AB}^{ij} = \frac{1}{\lambda} p_{AB}^{jk} - \frac{1}{\lambda} p_{AB}^{ki} - \frac{1}{\lambda} p_{AB}^{ij}$

Possiamo applicare la correzione al Rover

$$P_{AB}^j(t)_{\text{corretto}} = P_{AB}^j(t) + \text{PFC}(t)$$

$$P_{AB}^j(t)_{\text{corretto}} = p_B^j(t) - c\delta_{AB}(t)$$

$$\delta_{AB}(t) = \delta_B(t) - \delta_A(t) \quad \text{combinazione di orologio dei ricevitori}$$

si eliminano gli errori di orologio dei satelliti e per base line < 15 km si elidono gli errori spazialmente correlati

Equivalente ad una differenza prima.

DGNSS con misure di fase

per una stazione MASTER (A)

$$\lambda\phi_A^j(t) = p_A^j(t) - c\delta_A^j(t) - c\delta_A(t) - \lambda N_A^j + I_A^j(t) + T_A^j(t) + E_A^j(t)$$

la correzione sarà:

$$\text{CPC}(t) = p_A^j(t) - \lambda\phi_A^j(t) = c\delta^j(t) + c\delta_A(t) + \lambda N_A^j - I_A^j(t) - T_A^j(t) - E_A^j(t)$$

↓
CARRIER

PHASE

CORRECTION

Il range corretto nel Rover sarà:

$$\lambda\phi_B^j(t)_{\text{corretto}} = p_B^j(t) + \text{CPC}(t)$$

$$\lambda\phi_B^j(t)_{\text{corretto}} = p_B^j(t) - \lambda\Delta N_{AB}^j - c\delta_{AB}(t)$$

$$\Delta N_{AB}^j = N_B^j - N_A^j$$

Si fa' una ulteriore differenza con un'altra distanza misurata dal satellite K

E' una differenza prima
si eliminano i bias spazialmente correlati e gli errori orologio del satellite

COMBINAZIONE WIDE LANE

$$n_1 = 1$$

$$n_2 = -1$$

$$\phi_w = \phi_1 - \phi_2$$

$$L_w = \phi_w \lambda_w = \phi_w \frac{c}{f_w} = \phi_w \cdot \frac{c}{f_1 - f_2} = c \frac{\phi_1 - \phi_2}{f_1 - f_2}$$

$$c = f_1 \lambda_1 = f_2 \lambda_2$$

$$f_w = f_1 - f_2$$

$$L_w = c \frac{\phi_1}{f_1 - f_2} - c \frac{\phi_2}{f_1 - f_2} = f_1 \lambda_1 \frac{\phi_1}{f_1 - f_2} - f_2 \lambda_2 \frac{\phi_2}{f_1 - f_2}$$

$$L_1 = \phi_1 \lambda_1 \quad L_2 = \phi_2 \lambda_2$$

$$L_w = f_1 \frac{L_1}{f_1 - f_2} - f_2 \frac{L_2}{f_1 - f_2} = \frac{f_1 L_1 - f_2 L_2}{f_1 - f_2}$$

$$\begin{array}{r} 2^3 - 1^3 \\ \hline 2^2 - 1^2 \end{array} = 2^2$$

$$\begin{array}{r} 3^3 - 2^3 \\ \hline 3^2 - 2^2 \end{array} = 3^2$$

$$2^3 - 1^3 = 2^2 + 2 \cdot 1$$

$$0 + \phi_{sh} - \phi_{hl} = \phi_{sh} - \phi_{hl} = \phi$$

$$0 - \phi_{sh} - \phi_{hl} + \phi_{sh} - \phi_{hl} = 0$$

se ho solo il valore assoluto di ϕ_{sh} e ϕ_{hl} posso calcolare la differenza tra i due valori.

Abbiamo 3 diverse architetture di reti NTRK

■ VRS Virtual reference station

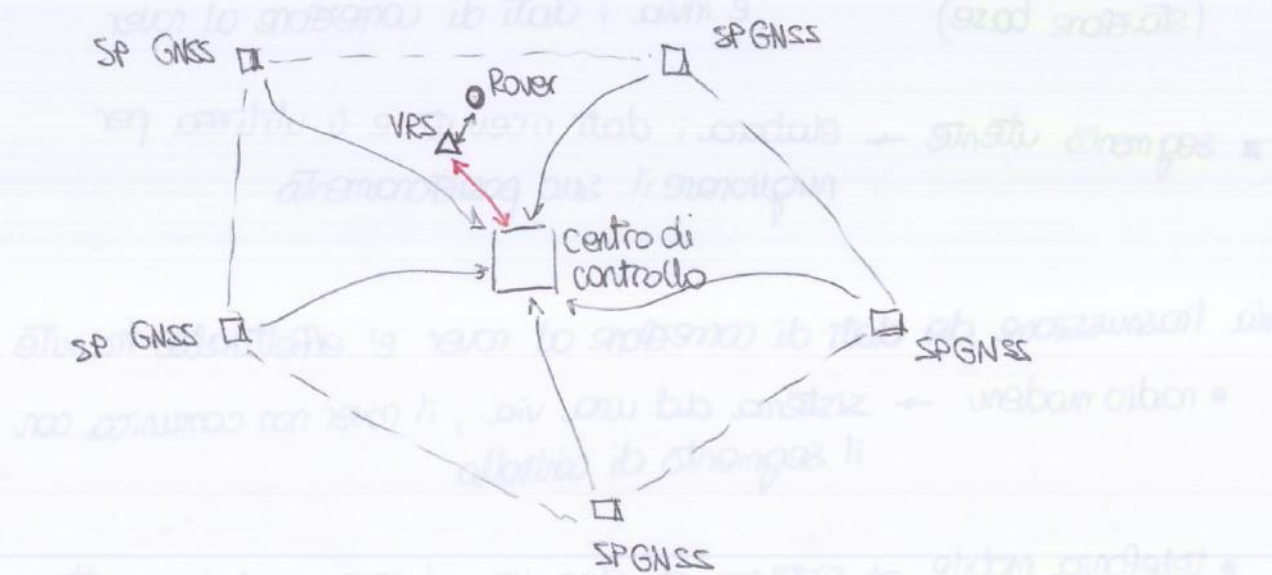
■ MRS Multi reference station

■ MAX o MAC master auxiliary

VRS Virtual Reference Station

Il centro di controllo elabora osservazioni di codice e fase di 3 stazioni GNSS, e calcola dei modelli di bias.

Il rover invia tramite protocollo NMEA la sua posizione approssimata al centro di controllo. Questo crea una stazione virtuale molto vicina al rover e per interpolazione invia i valori di bias di questa stazione virtuale al rover, che puo' quindi effettuare un posizionamento differentiale applicando le correzioni



Serve una comunicazione a 2 vie

Il calcolo e' effettuato dal centro di controllo, e' personalizzato e quindi ci puo' essere una limitazione di numero di utenti

Superata una certa distanza la VRS deve essere ricalcolata

Si puo' pensare di creare delle stazioni VRS fisse, il rover si "appaerca" a quella piu' vicina, senza bisogno di una comunicazione a 2 vie.

Non sono una comunicazione a 2 vie.

E' necessario che il rover sia in grado di svolgere i calcoli di interpolazione

da stazione master puo' essere sostituita da qualsiasi delle auxiliary
Usiamo stazioni reali e non virtuali

le celle possono essere scelte dall'utente oppure se la
comunicazione e' a due vie puo' essere usato il servizio AUTO MAX
(il centro di controllo in base alla posizione puo' calcolare una cella
opportuna)

Non ci sono limiti al numero di accessi

APPROCCI di CALCOLO

Dal posizionamento differenziale sappiamo che

CODICE $R_B^j(t)_{\text{corretto}} = R_B^j(t) + PRC(t) = p_B^j(t) - c\delta_{AB}(t) + \Delta E_{AB}^j(t) + \Delta I_{AB}^j(t) + \Delta T_{AB}^j(t)$

FASE $\lambda\phi_B^j(t)_{\text{corretto}} = p_B^j(t) + CPC(t) = p_B^j(t) - c\delta_{AB}(t) - \lambda N_{AB}^j + \Delta I_{AB}^j(t) + \Delta T_{AB}^j(t) + \Delta E_{AB}^j(t)$

PRC e CPC contengono le correzioni.

Nel RIN il software di rete deve effettuare una SEPARAZIONE dei
bias. Poi deve creare un modello che possa essere interpolato
e mandato al rover (o direttamente interpolato dal rover).

Approccio NON differenziato e combinato

Separiamo la componente dispersiva (ritardo ionosferico) dalla
componente geometrica (ritardo troposferico e errori di effemeride)

Usando osservazioni grezze separiamo i termini con

- » **combinazioni iono-free** → abbiamo solo piu' componente geometrica
- » **combinazioni geometry-free** → abbiamo solo piu' ritardo ionosferico

I bias ottenuti vengono interpolati per ottenere un modello d'errore

INTERPOLAZIONE dei BIAS

E' interpolazione dei bias stimati nelle stazioni permanenti SP GNSS
serve per calcolare i bias in corrispondenza del rover

Combinatore lineare LCM

Consiste in una combinazione lineare di coefficienti applicati alle differenze doppie di fase.

Vengono mitigati gli errori non correlati e modellati quelli spazialmente correlati (troposfera, orbite)

Metodo lineare dipendente dalla distanza DLM

Serve per stimare la correzione ionosferica

E' una media ponderata con pesi w_i :

$$w_i = \frac{1}{d_i} \quad \text{dove } d_i = \text{distanza ricevitore - stazione SPGNSS}$$

Interpolazione lineare LCM

I bias possono essere ottenuti ad ogni epoca

$$V = a\Delta X + b\Delta Y$$

a e b sono parametri d'area trasmessi al rover

ΔX ΔY sono differenze di coordinate tra base e rover

V sono i bias nel rover

sono una serie di equazioni (tante quante sono le stazioni SPGNSS) che vengono risolte ai minimi quadrati

Modello di superficie di basso ordine LSM

Vengono definite delle superfici per interpolare bias spazialmente correlati. La stima dei coefficienti avviene tramite minimi quadrati.

Granati i coefficienti si possono stimare i bias nel rover

NMEA → coordinate in tempo reale

Ricevitore GNSS fornisce coordinate in tempo reale, satelliti usati
indici DOP ed altre informazioni

\$GP RCM, 214522, ...

GPS formato ora latitudine, longitudine ecc...

RTCM → trasmissione di dati e correzioni per posizionamento FPK

Ne avremo due tipi

- RTCM 2.x
- RTCM 3.x

} servono per diffondere i messaggi di correzione

Il 2.x prevede 63 messaggi da 30 bit, quelli più usati sono

- Type 1 e 2 → correzioni pseudorange
- Type 3 → coordinate della stazione
- Type 18 19 → misure di fase e codice
- Type 20 21 → correzioni di fase e codice
- Type 59 → messaggi proprietari

Il 3.x è più evoluto e ha informazioni sui parametri delle antenne e del sistema di riferimento. Può accettare nuovi codici, nuove frequenze e nuovi sistemi GNSS come il Galileo

Serve per la MAX = master auxiliary

FKP

Serve per trasmettere i parametri di correzione differenziale della rete NRP al rover. Si usa nel MRS. Sono parametri di correzione superficiale d'area.

Gli indici DOP si scrivono usando i termini sulla diagonale

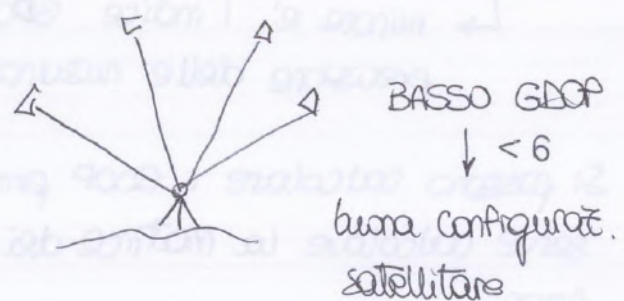
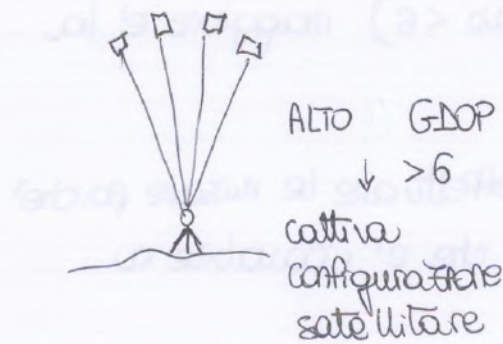
$$GDOP = \sqrt{D_x^2 + D_y^2 + D_z^2 + D_t^2} \quad \leftarrow \text{Geometrical}$$

$$HDOP = \sqrt{D_x^2 + D_y^2} \quad \leftarrow \text{Horizontal}$$

$$VDOP = \sqrt{D_z^2} \quad \leftarrow \text{vertical}$$

$$PDOP = \sqrt{D_x^2 + D_y^2 + D_z^2} \quad \leftarrow \text{Position}$$

$$TDOP = \sqrt{D_t^2} \quad \leftarrow \text{time}$$



Indice	Definizione	Caratteristiche
GDOP	Diluizione geometrica	misura la diluizione geometrica
HDOP	Diluizione orizzontale	misura la diluizione orizzontale
PDOP	Diluizione posizionale	misura la diluizione posizionale
TDOP	Diluizione temporale	misura la diluizione temporale

POSIZIONAMENTO e NAVIGAZIONE INERZIALE

NAVIGAZIONE: metodi e tecniche per determinare

- posizione
- velocità
- assetto

di un oggetto in moto in un sistema di riferimento deciso a priori

Due filosofie di navigazione

- position fixing → ogni posizione indipendente dalle precedenti GPS
- Dead Reckoning → ogni dato dipende da misura effettuata e posizioni precedenti INS (IMU + software)

Il position fixing non è di facile realizzazione perché il segnale GPS si sgancia facilmente (cycle slip) e quindi non si ha una soluzione continua.

PRINCIPI FISICI della NAVIGAZIONE INERZIALE

NAVIGAZIONE INERZIALE → è possibile conoscere il moto di un corpo in un sistema di riferimento, in base alle forze esterne che agiscono su di esso

I sistemi di riferimento INERZIALI sono quelli in cui è valida la 1^a legge di Newton

↳ Un corpo persevera nel suo stato di quiete o di moto rettilineo uniforme a meno che forze esterne non lo costringano a mutare il suo stato

2^a legge di Newton

$$\text{L} \rightarrow F = m \cdot a$$

F = forza esterna

m = massa del corpo

a = accelerazione

Il giroscopio GIMBALED possiede un **servomotore** che impedisce all'asse di spin di cambiare direzione se viene perturbato da una coppia esterna.

Il giroscopio misura la **velocità** del supporto cardanico mosso dal servomotore che consente all'asse di spin di rimanere fisso.

GIROSCOPIO a FIBRA OTTICA: sfrutta l'**EFFETTO SAGNAC**.

si confrontano gli sfasamenti o i tempi di arrivo di due segnali.

Una sorgente luminosa LED o laser emette un fascio di luce che viene diviso in due raggi (cw e ccw). Un raggio segue un percorso orario e l'altro un percorso antiorario attraverso la fibra ottica posta su un disco.

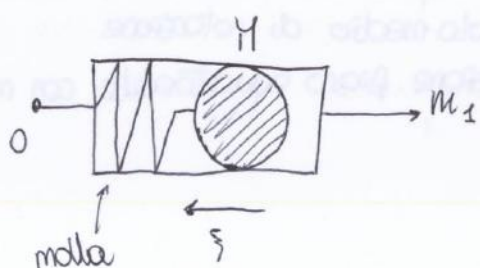
Se il disco non ruota i due raggi arrivano all'emettitore iniziale nello stesso istante. Se il disco ruota arriveranno sfasati e se ne misura lo sfasamento dalla sfasamento si risale alla **velocità angolare** ω .

Più l'area del disco è grande maggiore è la precisione. Generalmente si usano bobine di spire lunghe fino a 1 km.

Più i raggi sono sfasati maggiore è ω

ACCELEROMETRO

Accelerometro misura la **forza di reazione vincolare** con cui un veicolo agisce su una massa di prova M per mantenerla a se legata in movimento.



costituito da uno **CHASSIS** che vincola la massa M a muoversi lungo una sola direzione

Averemo un sensore tale che non appena M si muove, ne misura lo spostamento ed imprime una forza per far tornare M alla posizione iniziale.

M rimane immobile, cambia la forza F impostata nella molla.

L'accelerometro è soggetto a \vec{g} accelerazione di gravità.

L'output dell'accelerometro è: **FORZA SPECIFICA**

$$f = a - g$$

a = accelerazione impostata al corpo

g = gravità

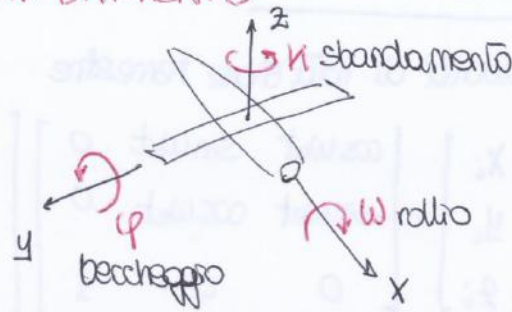
TRASFORMAZIONI tra SISTEMI di RIFERIMENTO

ANGOLI di EULERIO

Ω rollio

ϕ beccheggio

κ sbandamento



DA n-frame a b-frame

$$R_n^b = R_x R_y R_z = \begin{bmatrix} 1 & 0 & 0 \\ 0 & c\Omega & s\Omega \\ 0 & -s\Omega & c\Omega \end{bmatrix} \begin{bmatrix} c\phi & 0 & -s\phi \\ 0 & 1 & 0 \\ s\phi & 0 & c\phi \end{bmatrix} \begin{bmatrix} c\kappa & s\kappa & 0 \\ -s\kappa & c\kappa & 0 \\ 0 & 0 & 1 \end{bmatrix}$$

C = coseno

S = seno

DA b-frame a n-frame

$$R_b^n = (R_n^b)^T = R_x^T R_y^T R_z^T$$

Le velocità angolari $\dot{\Omega}$ e $\dot{\phi}$ e $\dot{\kappa}$ possono servire a propagare la matrice di rotazione nel tempo

$$\dot{R}_b^n = R_b^n \dot{\Omega}_n^b$$

$$\dot{\Omega}_n^b = \begin{bmatrix} 0 & -\kappa & \dot{\phi} \\ \dot{\kappa} & 0 & -\dot{\Omega} \\ -\dot{\phi} & \dot{\Omega} & 0 \end{bmatrix}$$

DA e-frame a n-frame

$$\begin{bmatrix} x_n \\ y_n \\ z_n \end{bmatrix} = \begin{bmatrix} -\sin\lambda & \cos\lambda & 0 \\ -\sin\varphi\cos\lambda & -\sin\varphi\sin\lambda & \cos\varphi \\ \cos\varphi\cos\lambda & \cos\varphi\sin\lambda & \sin\varphi \end{bmatrix} \begin{bmatrix} x_e - x_0 \\ y_e - y_0 \\ z_e - z_0 \end{bmatrix}$$

φ = latitudine

λ = longitudine

DA n-frame a e-frame

$$\begin{bmatrix} x_e \\ y_e \\ z_e \end{bmatrix} = \begin{bmatrix} x_0 \\ y_0 \\ z_0 \end{bmatrix} + [R]^T \begin{bmatrix} x_n \\ y_n \\ z_n \end{bmatrix}$$

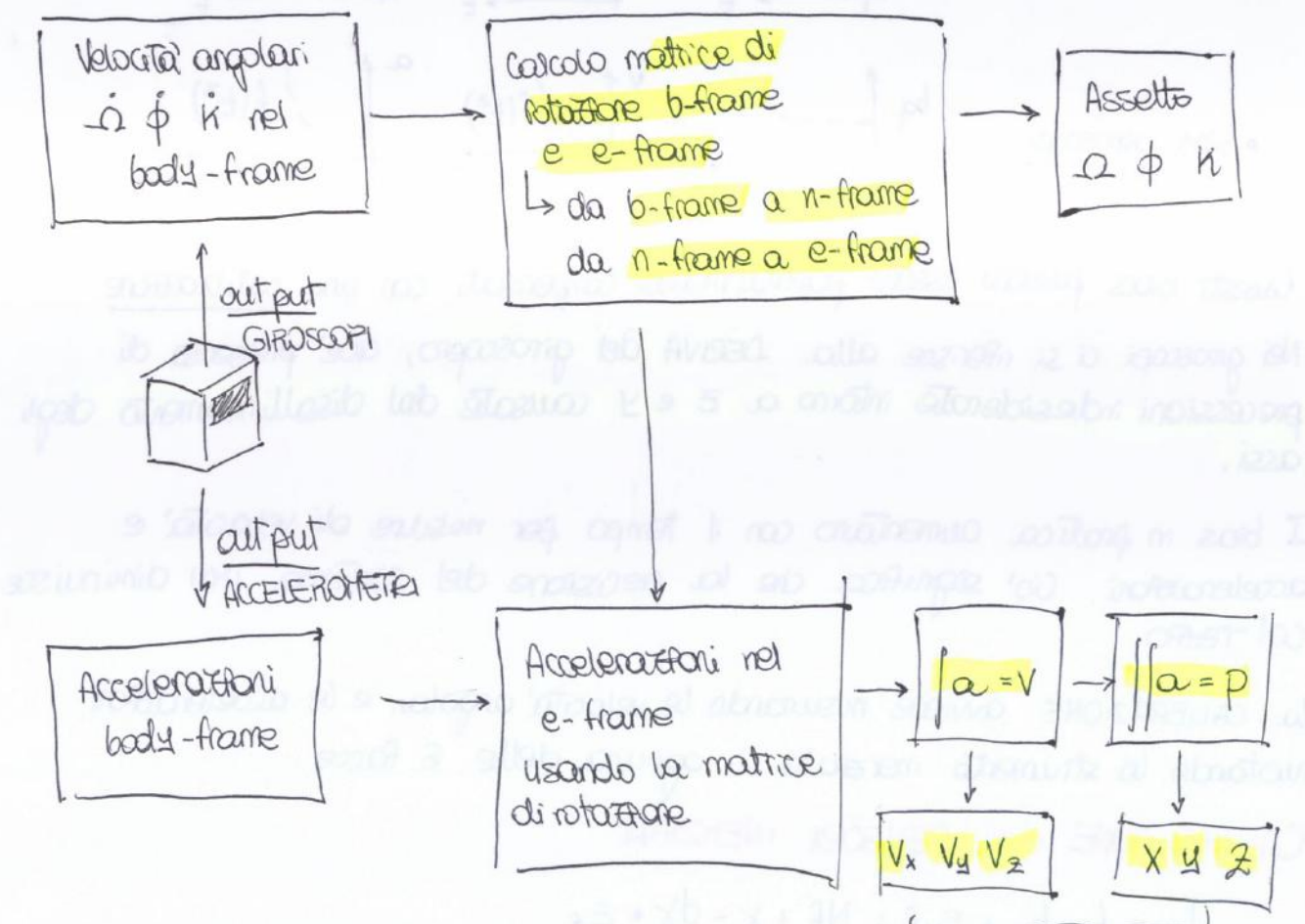
Nel caso 2D → incognite: X e Y assetto K (cambo di direzione dei veicolo)

→ servono: 2 accelerometri (accelerazioni direzione x e y)
1 giroscopio (assetto K)

Nel caso 3D → incognite: X Y Z spostamenti

$\omega \phi K$ angoli di direzione del corpo

→ servono: 3 accelerometri (accelerazioni x y z)
3 giroscopi ($\dot{\omega} \phi$ e K velocità angolari)



questi valori sono
espressi nel sistema
e-frame

$$I_w = w + b_w + S_w + N_w + \epsilon_w$$

output
 sensore
 velocità angolari
 ↑ ↑ ↑ ↑ ↑
 velocità angolare bias non ortogonalità rumore di misura
 ↑ ↑ ↑ ↑ ↑
 fattore di scala degli assi

Questi valori di errori sistematici → bias
possono essere ricavati facendo fattore di scala
una misura statica (20 minuti) non ortogonalità degli assi

→ TEST STATICO a 6 FACCIE → il sensore sta appoggiato 20 minuti su ogni faccia e registra output di accelerometri e giroscopi

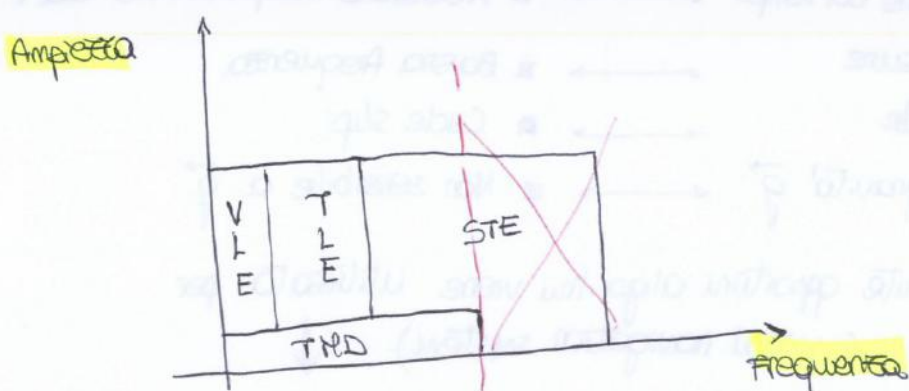
La stima degli errori sistematici è fatta confrontando gli output delle 2 facce opposte

ERRORE ACCIDENTALI

Errori non prevedibili a priori di segno alterno e dipendenti dalla qualità dei sensori che compongono la piattaforma, nonché dipendenti dall'ambiente esterno

La componente di errore accidentale può essere trattata come RUMORE BIANCO
la componenti di errore accidentale può essere trattata come RUMORE BIANCO
a media nulla. Può essere ridotto grazie all'elevata frequenza di misura

SPECILO DI RISPOSTA IMU



THD = segnale

STE = Errori accidentali (Short term errors)

VLE TLE = Errori sistematici

Abbiamo due tipi di accoppiamento

• LASCO

Abbiamo le soltanze nei due sistemi DISTINTI



de uniamo insieme

E' difficile ricucire i Cycle slip

Serve avere H satelliti per il GNSS

• STRETTO

Si combinano direttamente insieme le osservazioni



Possiamo ricucire i Cycle slip

Non servono H satelliti

E' più difficile implementare il sistema

Nell'integrazione tra IMU e GPS è necessario fare attenzione a

- sfalsamento dovuto alla deriva dei giroscopi
- sfalsamento tra i riferimenti temporali. → GPS, PC e IMU

↳ generalmente si prende il sistema temporale GPS come riferimento e si correlano gli altri strumenti

Se immaginiamo di perdere il segnale GPS, per un breve periodo di tempo le prestazioni di sensori 2D e 3D sono simili. Con l'aumentare del tempo sono diverse e aumentano esponenzialmente gli errori.

APPLICAZIONI

MHS = Mobile Mapping System: veicolo dotato di GNSS, INS, odometri, camere, LS.

Sono per acquisire dati georeferenziati relativi alle strade (catasto, stato di salute delle strade, guida automatica del veicolo)
Anche il Poli ne ha uno.

UAV = Unmanned Aerial Vehicles: veicoli aerei senza pilota. Possono essere comandati da terra o seguire una rotta prestabilita mediante un autopilota.

Pedestrian Navigation = determina velocità e posizione del pedone. Può essere utilizzato a scopi civili (vigili del fuoco, guardie forestali ecc...) oppure per valutare la postura della persona.
Si possono registrare i percorsi fatti dal pedone

DISTANZIOMETRI

EDM = Elettromagnetico Distance Meter

EODM = Elettrico Optical Distance Meter

Gli EDM → misura dello sfasamento tra onda emessa e onda ricevuta

→ misura dei tempi trascorsi tra due impulsi o tra due treni d'onda codificata.

In entrambi i metodi la misura è ripetuta migliaia di volte per fornire gli scarti quadratici medi

EODM Metodo della misura della fase

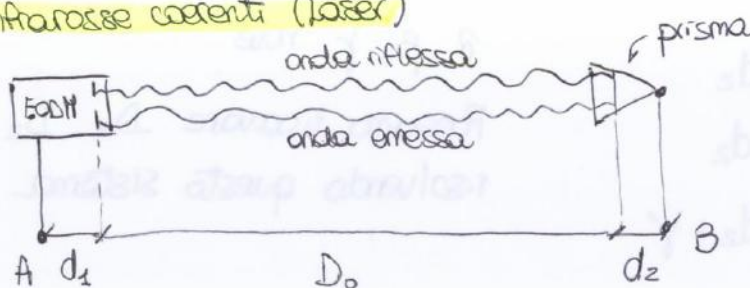
Emette una radiazione ottica di lunghezza d'onda λ dell'infrarosso vicino. La modula e la trasmette.

Un prisma riflettore posto nel punto di cui vogliamo calcolare la distanza la riflette.

L'EODM misura lo sfasamento tra l'onda emessa e quella ricevuta.

EODM ha una parte trasmettente e una ricevente

Si usano onde infrarosse coerenti (laser)



$$AB = d_1 + d_2 + D_0$$

D_0 è calcolato misurando lo sfasamento $\Delta\phi$

$$\frac{\lambda}{c} = \frac{2\pi}{w}$$

$$w = \frac{c}{\lambda} 2\pi$$

$$\Delta\phi = w \Delta t$$

Impulso differenza di tempo

$d_1, d_2 \} \text{ SISTEMATISMI}$

$$\Delta s = c \Delta t = c \frac{\Delta\phi}{w} = c \Delta\phi \frac{\lambda}{c} \frac{1}{2\pi} = \lambda \frac{\Delta\phi}{2\pi}$$

$n = \text{ambiguità di fase}$

$$2D_0 = n\lambda + \Delta s = n\lambda + \lambda \frac{\Delta\phi}{2\pi}$$

$\downarrow \text{ cicli interi} \quad \downarrow \text{ sfasamento}$

$$AB = d_1 + d_2 + \frac{n\lambda}{2} + \frac{\lambda}{2} \frac{\Delta\phi}{2\pi}$$

Metodo della misura ad impulsi

Possiamo calcolare la distanza con la formula

$$2D = v \Delta t$$

v = velocità dell'onda = c velocità della luce

Δt = differenza di tempo, tempo impiegato dall'onda per percorrere andata e ritorno.

Vogliamo precisione di 10^{-5}

c è nota con precisione

Per Δt dobbiamo considerare la sensibilità
la sensibilità dipende dalla distanza

$$\frac{\delta \Delta t}{\Delta t} = 10^{-5}$$

$$\delta \Delta t = 10^{-5} \Delta t$$

$$D = 3 \text{ km} \rightarrow 2 \cdot 3 = 3 \cdot 10^{-8} \Delta t \rightarrow \Delta t = 20 \text{ ns}$$

$\delta \Delta t = 10^{-5} \cdot 20 \text{ ns} = 2 \cdot 10^{-13} \text{ s} \rightarrow$ sensibilità ottenibile solo con orologi atomici
con l'aumentare della distanza la sensibilità diminuisce e quindi avremo meno problemi

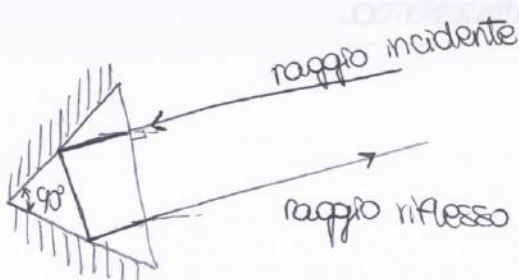
$$\Delta t = nT + t_a - t_b$$

n = numero di volte in cui l'onda ha effettuato un periodo (numero di λ)

T = periodo della frequenza fondamentale dell'onda quadra

t_a e t_b sono misurati tramite convertitori tempo-tensione

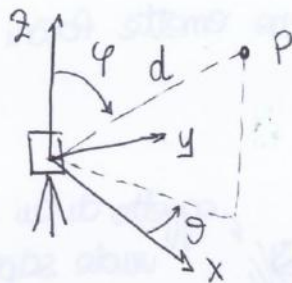
PRISMI



Lo scopo dei prismi è quello di riflettere il raggio incidente parallelamente
raggio riflesso // raggio incidente

per farlo possono servire 1 o più prismi a seconda del tipo di EDM,
distanza e visibilità

PRINCIPI di POSIZIONAMENTO LIDAR



Tecnica di telelivellamento che permette di determinare la distanza d .

Il fascio laser permette di determinare le direzioni φ e θ

Possiamo ricavare x y e z del punto P con

$$x = d \sin \varphi \cos \theta$$

$$y = d \sin \varphi \sin \theta$$

$$z = d \cos \varphi$$

RILEVO con STAZIONE TOTALE: si definiscono solo i punti necessari alla definizione dell'oggetto. È una tecnica intelligente

RILEVO LIDAR: si acquisisce una nuvola di punti senza operare alcuna scelta. I punti vengono acquisiti automaticamente.

Vogliamo quindi misurare la distanza d e le direzioni φ e θ per calcolare x y z di ogni punto.

MISURA delle DIREZIONI

■ **laser aerei**: si misurano le coordinate del punto di applicazione (cioè del punto in cui è posta la strumentazione) con GNSS.

Si misurano gli assetti con piattaforma IMU.

■ **laser terrestri**: si misurano le direzioni attraverso la rotazione di uno specchio emettitore e dello strumento stesso.

MISURA della DISTANZA

Si utilizzano impulsi laser.

La distanza di un oggetto è determinata misurando l'intervalle di tempo tra l'onda emessa e l'onda ricevuta (cioè l'onda che è stata riflessa dall'oggetto e che è tornata indietro).

λ = lunghezza d'onda tale che mostra sensibilità ai fenomeni atmosferici

La misura della distanza è effettuata tramite emissione di onde quadre di durata T .

Si misura l'intervallo di tempo Δt che intercorre tra l'emissione dell'onda e l'arrivo dell'onda riflessa.

La distanza è

$$2D = v \Delta t \quad \text{dove } v = \text{velocità dell'onda}$$

L'intervallo di tempo Δt è pari a

$$\Delta t = nT + t_a - t_b$$

T = periodo dell'onda quadrata

n = numero di onde quadre tra l'emissione e la ricezione

t_a e t_b sono tempi residui corrispondenti ai segnali di start e stop. Essi vengono misurati con un condensatore caricato da corrente continua

$$t_a = \frac{V_a}{V} T$$

$$t_b = \frac{V_b}{V} T$$

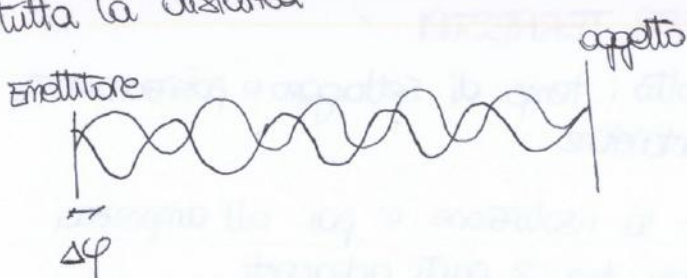
V = tensione cui corrisponde l'impulso T

V_a, V_b = variazioni di tensione

LASER DISTANZIOMETRICI a MISURA di FASE

Misura lo sfasamento tra un'onda sinusoidale emessa e quella rientrante.

Bisogna considerareoltre il numero di onde intere che si realizzano in tutta la distanza



Averemo che

$$\Delta S = c \Delta t$$

$$\Delta t = \frac{\Delta \varphi}{\omega} \leftarrow \begin{matrix} \text{sfasamento} \\ \omega \leftarrow \text{impulso} \end{matrix}$$

Vale la relazione

$$\frac{\lambda}{c} = \frac{2\pi}{\omega} \quad \Delta S = c \Delta t = c \frac{\Delta \varphi}{\omega} = c \Delta \varphi \frac{\lambda}{c} \frac{1}{2\pi} = \lambda \frac{\Delta \varphi}{2\pi}$$

$$2D = n\lambda + \Delta S = n\lambda + \lambda \frac{\Delta \varphi}{2\pi}$$

↓
numero di onde intere

$$d = n \frac{\lambda}{2} + \frac{\lambda}{2} \frac{\Delta \varphi}{2\pi}$$

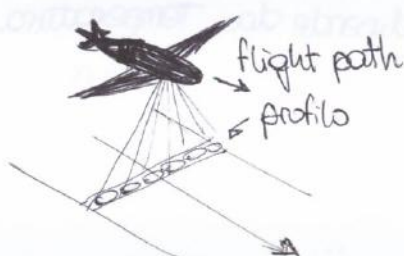
SISTEMI LIDAR MOBILI

Vengono rilevati dei profili utilizzando strumentazione posta su veicoli

- Telemetro laser
- GPS + GPS master a terra
- IMU
- Apparati per la registrazione di dati
- Fotocamere digitali

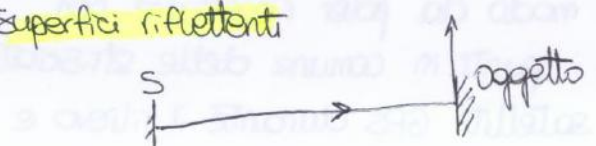
Abbiamo bisogno di riferire la nuvola di punti misurata col laser ad un sistema di riferimento terrestre. Essa viene acquisita in un **sistema strumentale**. Per passarla ad un **sistema terrestre** è necessario sapere la posizione della strumentazione nel **sistema terrestre** e le **distanze** relative per tutti gli strumenti.

Il GPS o GNSS serve per determinare x y z degli strumenti
IMU serve per definire gli assetti



Possiamo avere 3 tipi di SUPERFICI

- Superfici riflettenti



- Superfici lambertiane



- Superfici retroriflettenti

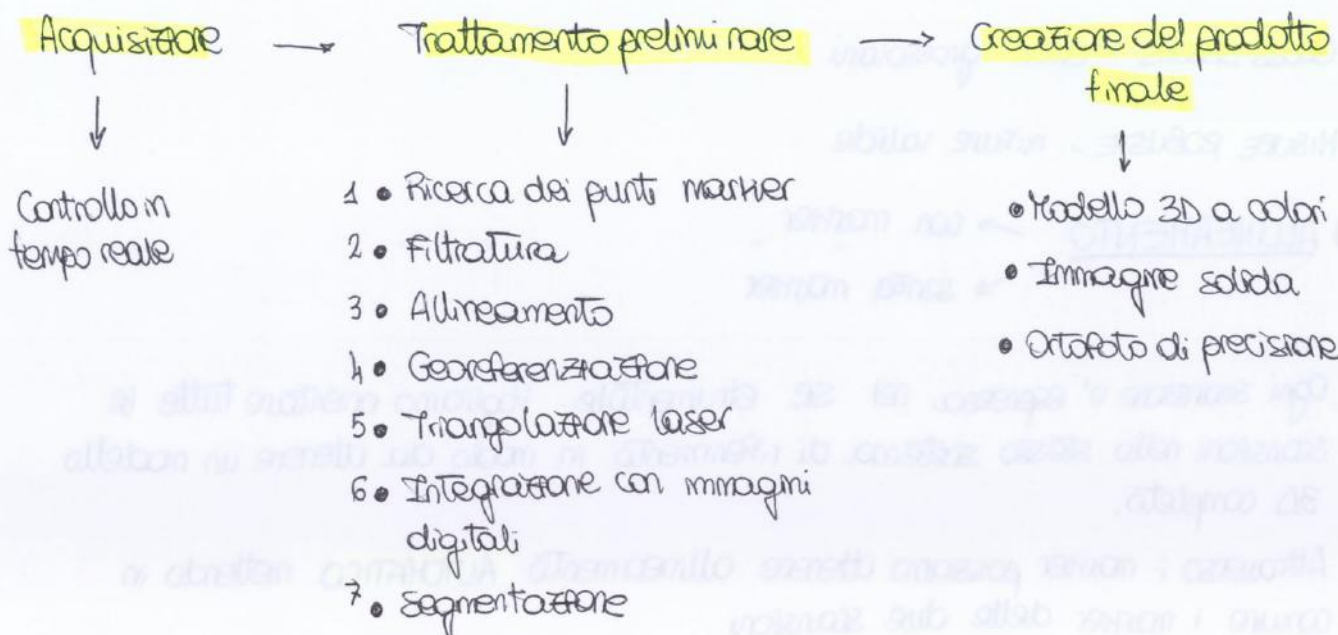


La radiazione luminosa che colpisce un corpo è in parte:

- riflessa
- assorbita
- trasmessa

Quella che noi misuriamo è quella riflessa nella direzione di incidenza.

TECNICA del LASER SCANNING TERRESTRE



TRATTAMENTO PRELIMINARE

1) RICERCA dei PUNTI PRESEGNALIZZATI (MARKER)

I marker sono elementi che hanno elevata riflettività. Si possono ritrovare nei dati acquisiti poiché la strumentazione mette a disposizione i valori di riflettività dei punti rilevati.

↳ entità ad elevata risposta radiometrica

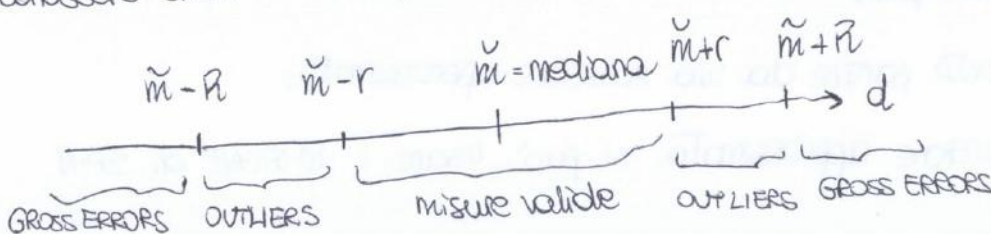
2) FILTRATURA

Le scansioni laser sono soggette a rumore e errori di acquisizione (outliers e gross errors) che è necessario eliminare con apposito filtro.

Il rumore è provocato dalla divergenza del raggio laser.

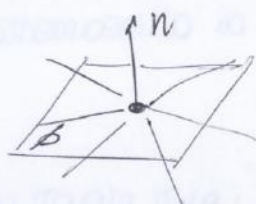
Per eliminare gli OUTLIERS e i GROSS ERRORS si definiscono degli intervalli di modulo r e R ($r < R$) centrati sulla mediana m .

r ed R tengono conto della morfologia e del tipo di area cui si riferiscono le misure. La classificazione rispetto alla mediana permette anche di riconoscere errori di multi-path.



Si considera una nuvola di punti. Preso un punto di questa nuvola se ne determina la normale locale.

In questo modo si è definito un sistema di coordinate ciudr che



si calcolano le coordinate cilindriche di una porzione di punti

da correlazione avviene tra l'immagine di spin del punto selezionato e tutte le immagini di spin generate sui punti della seconda scansione.

Il programma troverà il punto analogo.

Il problema è la velocità di calcolo. Se la superficie è molto regolare si dovrà considerare una porzione grande di immagine di spin

A) GEOREFERENZIAZIONE

Finora abbiamo correlato scansioni differenti di uno stesso oggetto, abbiamo filtrato i punti acquisiti. Ora abbiamo punti corretti e correlati nel sistema di riferimento dello strumento.

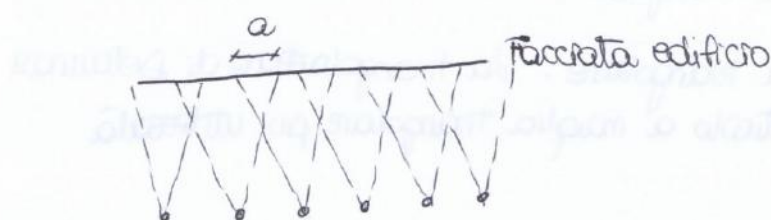
Vogliamo passare ad un sistema di riferimento terrestre.

Per farlo basta rilevare la posizione dei marker nel sistema di riferimento esterno. A questo punto note le coordinate si può effettuare la procedura analoga a quella dell'allineamento.

Ottieniamo l'oggetto nel sistema di riferimento terrestre

B) TRIANGOLAZIONE LASER

Serve per rilevare fronti di edifici



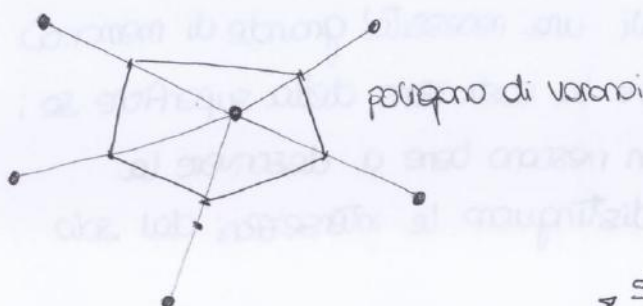
Se la zona "a" è minore del 30% della dimensione della facciata, si crea un errore sistematico di disallineamento tra i modelli.

Occorre posizionare in ogni scansione almeno un punto di coordinate note

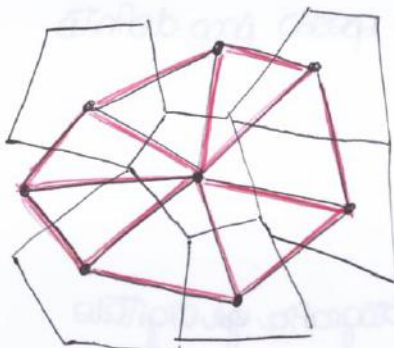
Attraverso metodi dinamici possiamo decidere se utilizzare o meno un punto per la costruzione di un piano, oppure se ignorarlo poiché non necessario. Inoltre possiamo decidere il livello di accuratezza del modello cioè il grado di dettaglio.

da superficie TIN e' riferita ad una 2,5D
per passare ad una superficie 3D si passa alla triangolazione di Delaunay considerando dei tetraedri anziché dei triangoli.

POLIGONO di VORONOI



TRIANGOLAZIONE di DELAUNAY



SIATICA: il reticollo valida le regole solo alla fine
DINAMICA: il reticollo valida le regole ad ogni aggiunta di punti

Amando una superficie di poligoni di Voronoi si collegano i punti centrali di ogni poligono e si ottiene una triangolazione di Delaunay

Nessun nodo del reticollo è incluso dai cerchi che circoscrivono i triangoli del reticollo.

Il centro dei cerchi è il centroide del poligono di voronoi

NURBS

Non Uniform Rational B-Splines

Non uniforme: è utile quando si modellano superfici non regolari poiché un vertice di controllo può essere più o meno importante a seconda del peso che gli si dà.

Razionale: la superficie è espressa da una equazione che è il rapporto tra 2 polinomi

B-spline = curva interpolata tra 3 o più punti. Sono una serie di segmenti piccoli che definiscono una curva.

DSM MODELLO DIGITALE di SUPERFICIE

Modello digitale che contiene sia elementi antropici (edifici, strade, automobili) sia il terreno e la vegetazione

DTM MODELLO DIGITALE di TERRENO

Modello in cui sono rimossi gli elementi diversi dal suolo, in modo da ottenere il cosiddetto "modello di suolo nudo"

Il laser riesce a raggiungere il suolo anche se è coperto dalla vegetazione. Si ottiene questa superficie attraverso la classificazione dei punti rilevati che hanno riflettività differenti a seconda del tipo di elemento di cui fanno parte.

Possiamo ottenere una ORTOFOTOCARTA

- generando un DTM modello digitale di terreno
- generando una ortofoto
- effettuando una mosaicitura di ortofoto

d'ortofoto è una fotografia aerea geometricamente corretta attraverso un processo di autorettifica. È georeferenziata in modo che se si posiziona il puntatore mouse sulla ortofoto si ottengono X Y e Z nel sistema di riferimento terrestre. Le distanze misurate su una ortofoto sono distanze reali e corrette.

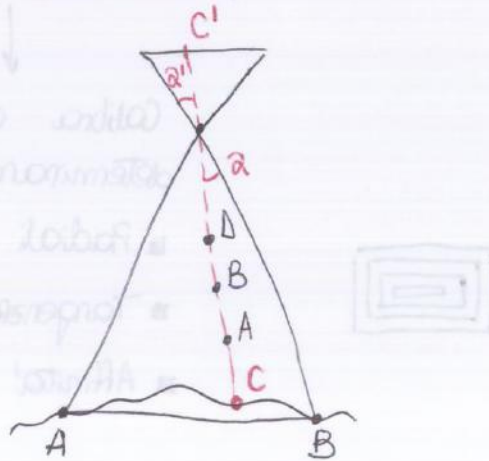
Per realizzare carte tradizionali numeriche ortofoto, DTM, GIS, modello tridimensionale, realtà virtuale abbiamo bisogno di 2 fotogrammi e poche misure sull'oggetto. Utilizzando uno strumento chiamato RESTITUTRICE

PROIEZIONE CENTRALE

da presa può essere schematizzata come una proiezione centrale dell'oggetto.

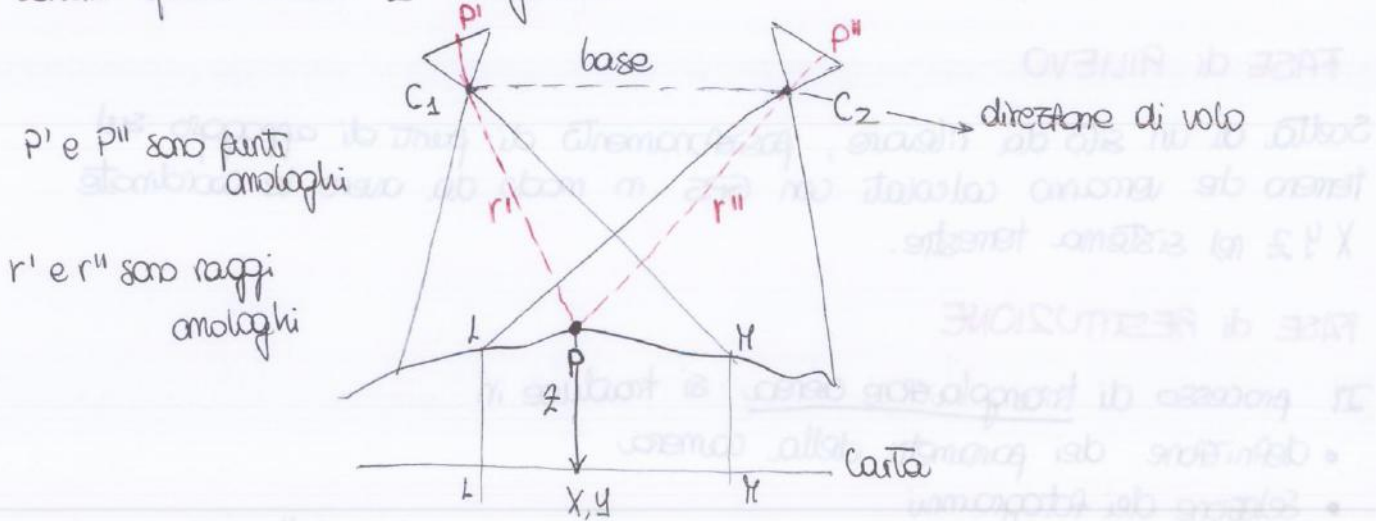
da misura sul fotogramma è una misura pseudo angolare corretta

$\alpha = \alpha'$ se non vi sono aberrazioni



Non basta un unico fotogramma poiché qualunque punto A B C D ha come immagine C'.

servono quindi almeno 2 fotogrammi



3 ■ TIPO di TERRENO

4 ■ DIREZIONE di VOLO

5 ■ QUOTA MEDIA di VOLO

6 ■ RICOPRIMENTI

7 ■ VELOCITA'

8 ■ APPOGGIO GPS cinematico

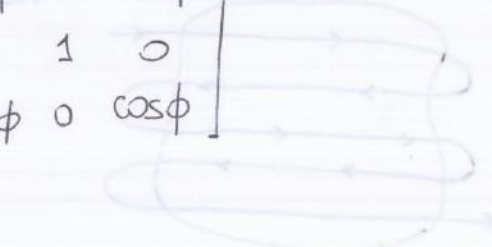
LE ROTAZIONI SPAZIALI

ROTAZIONE PRIMARIA

W rollio $\rightarrow R_w = \begin{bmatrix} 1 & 0 & 0 \\ 0 & \cos\omega & -\sin\omega \\ 0 & \sin\omega & \cos\omega \end{bmatrix}$

ROTAZIONE SECONDARIA

P beccheggio $\rightarrow R_p = \begin{bmatrix} \cos\phi & 0 & \sin\phi \\ 0 & 1 & 0 \\ -\sin\phi & 0 & \cos\phi \end{bmatrix}$



ROTAZIONE TERZIARIA

Y sbandamento $\rightarrow R_n = \begin{bmatrix} \cos\kappa & -\sin\kappa & 0 \\ \sin\kappa & \cos\kappa & 0 \\ 0 & 0 & 1 \end{bmatrix}$

Possiamo effettuare **rotazione spaziale** eseguendo una dopo l'altra le 3 rotazioni.

N.B. = se si cambia l'ordine delle rotazioni la matrice finale è costruita cambiando l'ordine delle matrici parziali:

$$R_{n\phi w} = R_w R_p R_n = \begin{bmatrix} \cos\phi \cos\kappa & -\cos\phi \sin\kappa & \sin\phi \\ \cos\omega \sin\kappa + \sin\omega \sin\phi \cos\kappa & \cos\omega \cos\kappa - \sin\omega \sin\phi \cos\kappa & -\sin\omega \cos\phi \\ \sin\omega \cos\kappa - \cos\omega \sin\phi \cos\kappa & \sin\omega \cos\kappa + \cos\omega \sin\phi \cos\kappa & \cos\omega \cos\phi \end{bmatrix} = \begin{bmatrix} r_{11} & r_{12} & r_{13} \\ r_{21} & r_{22} & r_{23} \\ r_{31} & r_{32} & r_{33} \end{bmatrix}$$